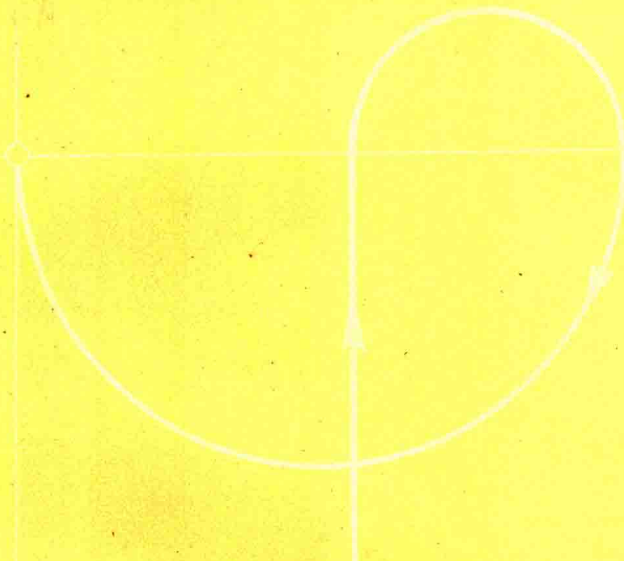


自动化丛书



核辐射在自动检测中的应用

[苏联] H. Н. 苏米洛夫斯基 Л. В. 梅里特采尔著 吴钦煌译

365

上海科学技术出版社

核辐射在自动检测中的应用

〔苏联〕 H. H. 苏米洛夫斯基 L. B. 梅里特采尔 著

吴钦煌 譯 沈宝夔 黄 泓 校

上海科学技术出版社

內容提要

本书是“自动化丛书”之一。丛书内容包括自动学及远动学的理論，自动装置、元件和仪器的结构及应用等。丛书选题主要取自苏联及其他国家的有关資料，也包括国内編写的专题論著。本丛书由“自动化丛书編輯委員會”主編。

本书討論几种主要的核輻射的特性，和应用在自動檢測裝置中的輻射接收器，以及这类仪表的基本結構原理。并列举已在工业生产中应用的一些具体檢測裝置的实例。适合从事于生产过程綜合自动化专业方面的工程技术人员和大专师生参考。

ПРИМЕНЕНИЕ ЯДЕРНЫХ ИЗЛУЧЕНИЙ В
УСТРОЙСТВАХ АВТОМАТИЧЕСКОГО КОНТРОЛЯ
ТЕХНОЛОГИЧЕСКИХ ПРОЦЕССОВ
Н. Н. Шумиловский, Л. В. Мельцер

Госэнергоиздат · 1958

自动化丛书(2)

核辐射在自动检测中的应用

吳欽璋譯 沈寶龕 黃澄校

自动化丛书編輯委員會主編

上海科学技术出版社出版 (上海瑞金二路 450 号)

上海市书刊出版业营业許可證出 093 号

上海市印刷三厂印刷 新华书店上海发行所发行

开本 787×1092 1/32 印张 3 10/32 排版字数 70,000

1962年12月第1版 1963年8月第2次印刷 印数1,801—2,900

统一书号 15119 · 1695 定价(十二)0.40元

前　　言

原子能的发展和工业生产的需要，导致人們去創造利用核輻射的新的自動檢測方法。这种新的方法和一般檢測方法比較起来，有很多的优点。在許多情况下，复杂的生产过程自动化中所出現的各种問題，就可以用新的方法来解决。它們能有效地改善生产工艺过程，提高生产效率。

这类自动檢測装置安装在車間中所占的体积是不大的，它附带有盛置微剂量放射性物质的小容器。常常能够大量节约人工，減輕工人的劳动，并降低产品的廢品率和縮短工艺周期的时间。

1957年4月在莫斯科全苏科学技术會議上，发表了許多关于在国民经济和科学中应用放射性同位素和稳定同位素及輻射的报告。我們可以提出若干个别的例子作为例証來說明^[1]。

根据不完全的資料統計，在列寧格勒軋鋼厂和察波罗什鋼厂采用自动檢測鋼帶厚度仪表的結果，可以使金属因厚度而产生的廢品降低两倍，軋鋼机停車時間減少約 10 倍。在列寧格勒軋鋼厂采用了放射性标记鋼帶，就使化学分析次数差不多減少 5 倍，每年可节省近十万卢布。河运部在挖泥机上裝置了 γ 倫琴計，就使吸泥机的工作效率提高 10~15%，每年大約可节省二百万卢布。在庫齐伏城諾吉那制造厂中裝置了放射性紡織物測重計，每年可节约織物达 12,000 米。在造纸机上安装了带有調节的放射性重量計，每年就可节省达到 660,000 卢布等等。在 1957 年初，根据美国的某些報告^[2]，由于在工业上应用放射性同位素后，每年节省总额已达到三亿

九千万美元，而在应用于自动檢測物质厚度和重量的仪表部分，就占了这个总额的一亿一千一百万美元。共有300家以上不同的工厂企业已經采用了这类仪表，在正常生产期間，平均节约为产值的2~3%。而在使用新的生产方式期間，就可以达到10~20%。所以这些仪表在使用以后实际上就全部收回成本了。

这类仪表的品种很多，不可能全都列举出来。但是从引証的数字中，已經可以看到在自动化和測量方面采用核輻射的重要性。

同样地應該再考慮到自动檢測这門学科的发展还只是剛开始，其每年的經濟效果毫无疑问地将会增高的。

利用核輻射的仪表的主要优点是什么呢？首先是应用它們可能实现不接触式測量，就是在測量装置与被測介质之間，不需要有直接的接触，結果可免除被測介质和測量装置之間的相互作用，这是有很大意义的。

另一些优点是辐射源具有很大的稳定性和很长的使用寿命。在自动檢測技术中，通常都是用同位素作为辐射源，这些同位素能够一直使用几年或者几十年，而不必更换。这样就还可得出以下的結論：放射性辐射源不需要任何維护，在使用过程中不消耗能量，当外部条件变化时不会改变本身的特性。

最后，不能不指出这个优点，即在自动化线路中应用这类装置是很方便的。因为核輻射的檢測仪表具有电气輸出和良好的快速作用，这就促使它們适于在自动和运动系統中采用。在各种不同工业部門中，同样的仪表或調節器都能够用来自动檢測和控制，这也是很方便的。

从应用各种檢測方法的合理性观点来看，无论是使用核輻射，或不使用核輻射，可将所有的檢測对象和范围分为三

类。

第一类的情况是只有使用核辐射，才能够做到对生产过程进行不破坏的检测。举例来说，象测量非磁性物体上的非磁性涂层的厚度，测量运动着的材料厚度和重量，寻找地下电缆线的故障位置等等。在这些情况下，因为再没有别的方法可用，就需要采用新的方法，而不能认为是浪费。在许多场合采用这种新检测方法的同时，还由于改进了生产过程本身，而最后能得到很大经济利益。

第二类是可以采用普通仪表进行不破坏地检测，同样也可以采用核辐射仪表进行检测，可是采用核辐射仪表来解决检测的问题比较好而简便。举例来说，如象缺陷探伤，可以采用放射性辐射法，也可以用X射线法和超声波法。但是在很多情况下，采用放射性方法是最简便的。

第三类是完全能够简单可靠地进行检测，并不需要采用核辐射方法。近年来许多不同的企业机构，常常有意地将放射性同位素应用到各种生产过程的自动检测装置上，经过严密的审查后，发现用一般的方法也能很好地解决问题，而不必使用放射性同位素的特殊仪表。所以为了要获得最好的检测目的，每一种情况都需要详细地和有经验地来审核，并不是随时都选用放射性检测方法就是最好的。

利用核辐射的自动检测装置，是基于这些核辐射与被检测介质间相互作用下产生的各种不同现象。因此，无论是研究测量方法，或者是设计试制这些装置的原理之前，都需要熟悉它们所利用的辐射的基本形式，辐射与介质相互作用的基本现象，以及这些辐射在自动检测装置中的记录方法。

目 录

前 言

第一章 核輻射 1

- 1. 輻射源 1
- 2. α 輻射 6
- 3. β 輻射 7
- 4. γ 輻射 11
- 5. 中子輻射 14

第二章 輻射接收器 17

- 6. 电离室 18
- 7. 气体放电計數管 21
- 8. 閃爍計數器 26
- 9. 中子接收器 30

第三章 利用核輻射的自動檢測裝置中測量線路的結構原理 33

- 10. 測量誤差 33
- 11. 測量線路 35
- 12. 核輻射的調制 45

第四章 測量方法和檢測仪表 48

- 13. 利用核輻射的吸收來測量物质的厚度 48
- 14. 利用核輻射的吸收來測量物质的密度和重量 54
- 15. 物位的測量 60
- 16. 利用輻射的反射作用來測量棉織物厚度、復蓋涂层厚度
和物质成分 65
- 17. γ 探伤法 69
- 18. 气体压力的測量 71
- 19. 气体分析 73
- 20. 測量气体和液体的流量 74

21. 放射性继电器	79
22. 核辐射能譜方法的利用	82
23. 中子束的利用	82
結 論	85
參考文献	86
譯校后記	94

第 1 章

核 輻 射

1. 輻 射 源

在自動檢測裝置中，可以利用各種不同的核輻射—— α 輻射、 β 輻射、 γ 輻射和中子輻射等。

天然的和人造的放射性同位素都是核輻射源。放射性同位素與穩定的同位素不同，它本身具有放射性衰變的特性。在這種衰變過程中，同位素所放出的核輻射，結果使得某一種化學元素會轉變為另一種化學元素。

在自然界中所發現的天然的放射性同位素，通常是列在門捷列夫周期表最後的一些元素。這些同位素的價格很高，在自動檢測裝置中是很少採用的。人造的放射性同位素是由穩定的同位素在核子反應堆中，經過照射而得到的。這些同位素由於價格便宜和使用方便，近來已極廣泛地採用着。

已經知道的各種放射性衰變有以下幾種：

(1) 在 α 衰變時，放射性核放射出一個氦原子核 ${}_2^4\text{He}^4$ ，稱為 α 粒子。同時這個原子核轉變成為另一個元素的原子核，比原來的元素在原子序數上減小 2，而質量數目減少 4。門捷列夫周期表最後的一些元素，通常都會產生 α 衰變。

(2) β 衰變或電子衰變，這與原子核的一個中子轉變成

质子有关。它放射出电子(β 粒子)和較輕的中子，这时原来元素的原子核轉变成为原子序数增大一个单位的元素原子核。我們已知道正电子在衰变时，原子核中的一个质子轉变成为中子，而放射出正电子和中子，这时原来的原子核原子序数减小一个单位。与电子衰变正好相反的現象称为 K 俘获，在这种情况下，原子核从它旁边的 K 层俘获一个电子，而产生一个中子。电子就从离原子核較远的外层轉移到原子核俘获电子的內层，在轉移时即会产生 X 辐射特性。在稳定的原子核中，中子和质子数目之間始終保持一定的比例关系，若是从任一方向来破坏这种比例，则会发生 β 衰变或 K 俘获。

(3) γ 辐射，是在原子核的放射性轉变(例如 β 衰变时)中出現的多余的的能量。当原子核失去这种能量后，即从能量激发状态轉变为不激发状态，并发射出电磁脉冲波或 γ 量子。

这种轉变可用鉻⁶⁰ 的衰变为例，鉻⁶⁰ 的原子核当发射出 β 粒子时，即轉变为鎳⁶⁰ 原子核，可是后者处在激发状态，刹那間就将自己激发的能量，以两种能量为 1.17 和 1.33 兆电子伏的連續的 γ 量子发射出来。

(4) 中子源，在自動檢測裝置中应用的中子源，通常是基于呈 α, n 形式的原子核反应，这时由于原子核受到 α 粒子轰击而产生中子。一般采用的中子源是鐳-鈾，或者鉀-鈾。鐳-鈾源是封焊在安瓿中的鐳和鈾的粉状混合物，当鐳衰变时发射出的 α 粒子，轰击鈾的原子核，而在某种情况下，就形成中子，从安瓿的各个方向放射出来。

在自動檢測裝置中采用的輻射源的活性，通常是按毫居里来测量的。一毫居里的活性相当于每秒钟有 3.7×10^7 次衰变。輻射源的活性(亦即輻射的强度)是随着时间按指數定律而減低的，即

$$a = a_0 e^{-\lambda t} \quad (1)$$

式中 a_0 ——起始的活性；

a ——經過时间 t 秒后的活性；

λ ——放射性衰变常数。

輻射源的活性減低到原有的一半所需要的时间，称为半衰期，以 $T_{\frac{1}{2}}$ 表示

$$T_{\frac{1}{2}} = \frac{\ln 2}{\lambda} \quad (2)$$

要得到一毫居里活性所需要的放射性同位素(以克計的)重量，可按下列公式来計算

$$P = 2.79 \times 10^{-9} A T_{\frac{1}{2}}$$

式中 A ——这种同位素的质量数；

$T_{\frac{1}{2}}$ ——半衰期，以年計。

各种 γ 輻射物质的量也可以用克镭当量来表示，一克镭当量($r-9k\theta$)所表示的 γ 輻射强度，是等于一克镭与它的衰变产物处于放射性平衡时，在同样条件下所具有的放射性强度。

对于中子源來說，“中子輸出”也是很重要的特性，通常它对于一次衰变数目的关系上是不大的，而当中子源的結構为最适宜的情况时，每一毫居里镭-鉢源有每秒 10^4 个中子，每一毫居里鉢-鉢源有每秒 10^3 个中子。

与物质相互作用的核輻射的剂量是用倫琴(p)来表示的，一倫琴的輻射量，是指在标准状态下(当压力为 760 毫米汞柱，温度为 0°C 时)一立方厘米干燥空气中产生一个靜电单位离子电荷所需的輻射剂量。輻射剂量的功率是用每秒倫琴来表示。

核輻射的能量在很大程度上决定着它的特性，輻射能量

愈大，其透射能力就愈大。随着能量的改变，能够改变辐射与介质間相互作用的特性。在自动檢測裝置中所采用的辐射能量，通常按兆电子伏或千电子伏来测量（可縮写为 $M\text{eV}$ 或 $k\text{ev}$ ）。

按照近代物理学的概念，任何能量的变化 δE ；和相应的质量变化关系为

$$\delta m = \frac{\delta E}{c^2} \quad (3)$$

式中 c ——光速。

按照式(3)，从原子核分出的能量值：

(1) 当 α 衰变时

$$E_\alpha = (M_1 - M_2)c^2 - m_\alpha c^2 \quad (4)$$

(2) 当 β 衰变时

$$E_\beta = (M_1 - M_2)c^2 - (m_e + m_N)c^2 \quad (5)$$

式中 M_1 和 M_2 ——在衰变前和衰变后的原子核质量；

m_α 、 m_e 和 m_N —— α 粒子、电子和中子的质量。

γ 辐射的能量是与受激发而射出 γ 量子的原子核所具有的剩余能量有关系，这时原子核或者是越过自己的基本能級，立刻发出全部的剩余能量，或者是引起某些中間过渡的状态，連續不断地发射出各种能量的 γ 量子。

中子的能量是由它們产生时受到的反应所确定，例如对于受鐳 α 粒子轰击 Be^9 而得到的中子來說，我們可由下面的能量方程式中求得

$$E_n = (M_{\text{Be}} + m_\alpha)c^2 - (M_C + m_n)c^2 + E_\alpha - E_C \quad (6)$$

在这里 E_n 和 E_C ——是經過反应結果所产生的中子能量和碳原子核能量， M_{Be} 、 M_C 和 m_n ——是铍原子量、碳原子量和中子质量。

辐射的特性不受外界条件如压力、温度、电场、磁场等的任何影响，这是核辐射源的一个重要特点。其原因是放射性并不是由原子的电子壳层的过程所决定，在电子壳层间相互作用的能量与通常物理现象的能量有同一数量级。而放射性是与原子核内部的现象有关系，在这里相互作用的能量会增高为3~4个数量级。

表1列举了一些主要的同位素和辐射源，都是在自动检测装置中广泛应用的。

表 1

元素符号	元素名称	辐射种类	半衰期	粒子能量 (兆电子伏)	γ 量子能量 (兆电子伏)
Co^{60}	钴	β, γ	5.3 年	0.81	1.17; 1.33
Sr^{90} Y^{90}	锶，在衰变下生成钇	β β	20 年 2.54 天	0.54 2.27	—
Ru^{106} Rh^{106}	钌，在衰变下生成铑	β β, γ	290 天 30 秒	0.039 3.5	— 0.52
Os^{137}	锇	β, γ	33 年	0.52	0.66
Ce^{144} Pr^{144}	铈，在衰变下生成镨	β, γ β, γ	282 天 17.5分钟	0.3 2.96	0.08~0.23 0.7~2.2
Tl^{170}	铊	β, γ	120 天	0.97	0.084
Ir^{192}	铱	β, γ	74 天	0.67	0.14~0.88
Tl^{204}	铊	β, γ	2.7 年	0.70	0.076
Po^{210}	钋	α, γ	138 天	5.3	0.8
$\text{Po}^{210} + \text{Be}^9$	钋+铍(中子源)	η, γ	138 天	4(平均值)	
$\text{Ra}^{226} + \text{Be}^9$	镭+铍(中子源)	η, γ	1590 年	5(平均值)	

[注] 含有复杂能谱(钴 60 , 铱 192 等)的 γ 辐射吸收可参看式(20)来计算。

2. α 輻 射

一般的 α 輻射是由某一組强度較大的 α 粒子和若干其他組能量較小的 α 粒子所組成。例如：鉵实际上可算是单一能量的辐射源，可是它有 12 組 α 粒子，鉵的 α 粒子中基本的一組能量为 5.3 兆电子伏，在它的能譜中要比其他任何一組的强度約大 5×10^3 倍。

α 粒子在空气和物质中的射程 l (厘米)是

$$l_{\text{射程}} = 0.318 E^{\frac{3}{2}} \quad (7)$$

$$l_{\text{射程}} = l_{\text{空气}} \frac{\rho_{\text{空气}}}{\rho_{\text{物质}}} \sqrt{\frac{Z_{\text{空气}}}{Z_{\text{物质}}}} \quad (8)$$

式中 E ——粒子的起始能量(兆电子伏)；

$\rho_{\text{空气}}$ 和 $\rho_{\text{物质}}$ ——空气和物质的密度；

$Z_{\text{空气}}$ 和 $Z_{\text{物质}}$ ——空气和物质的平均原子量。

射程的长度在空气中不超过几厘米，而在固体物质中不会超过几十微米。

当 α 粒子穿过气体介质时， α 粒子的电場与分子外部的电子壳层相互作用，使电子加速而让某些电子从壳层逸出。

这样，气体的分子被电离，每形成一对离子(自由电子和正离子)需要 32.5 电子伏的能量。

α 粒子与气体分子相互作用的結果，将失去自己的能量而停止运动。随着 α 粒子速度减緩的程度，会提高更多分子数目的电离概率。說明比电离 $n_{\text{电离}}$ 和殘余粒子射程間关系的

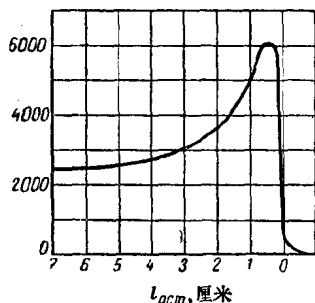


图 1 布喇格曲綫图

曲綫，称为布喇格曲綫，如图 1 所示。

用 α 粒子来使气体电离，比用其他辐射强得多，因此，在自动檢測装置中 α 辐射主要的应用范围是气体分析；测量气体压力、气体流量和与气体电离有关的其他方法^[3]。

3. β 辐 射

β 辐射具有連續的能譜，它从最小的能量开始，一直到代表該同位素特性的最大能量 E_{max} 为止。 β 辐射連續能譜的存在，是由于当 β 衰变时产生出中微子，这些中微子带走了能量 δE ，使 β 粒子不能得到最大能量 E_{max} 。

$$\delta E = E_{max} - E \quad (9)$$

式中 E —— β 粒子从原子核中带走的能量；

β 辐射的分解能譜形状，可以下式来表明

$$N(E) = kF(Z, W)W\sqrt{W^2 - 1}(E_{max} - E)^2 \quad (10)$$

式中 $N(E)$ ——在单位能量內相对的 β 粒子数；

k ——任意的常数；

$F(Z, W)$ ——費密微分函数；

W ——在单位靜止质量中 β 粒子的全部能量；

Z ——受到 β 衰变的同位素原子序数。

【注】当計算利用 β 辐射的自动檢測装置时，常常需要熟习 β 辐射能譜的形状^[4]。在同位素表中所列出的一般只是 E_{max} 值。

在图 2 中引用了按已知 E_{max} 和 Z 值，从式 (10) 来求得辐射能譜曲綫的作图法^[5]。图表的使用步驟如下：按图 2a 所示的模板图形剪下，将它沿横坐标放在图 2a 上，使它的直角位置与 E_{max} 点相吻合，量出相应的曲綫 Z 和模板抛物綫边缘之間的纵坐标差值，并对各个不同 E 单位按纵坐标計算出差值，作 $N=f(E)$ 的关系图。图 3 所示就是按照这种作图法而得到的鉈 $^{201}\beta$ 辐射的能譜曲綫。

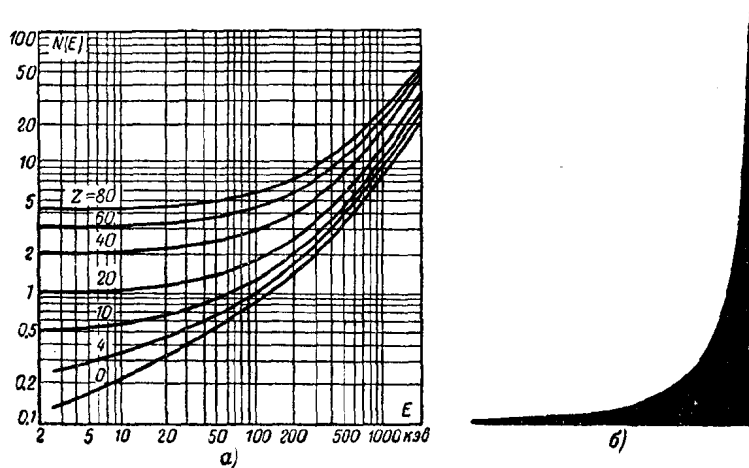


图 2 供繪制 β 能譜的图表

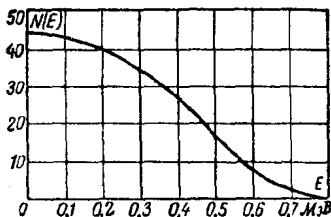


图 3 钻 Tl^{204} β 辐射能譜图

β 粒子(电子)透射过物质时与物质的电子和原子核相互作用，这种相互作用可以是彈性的和非彈性的。当彈性相互作用时，电子的能量沒有損失，但是它們会明显地改变着方向——散射。反方向的散射值与散射体厚度及原子序数有关，即

$$J_{obp} = J_{obp, \text{макс}} (1 - e^{-\mu_{obp} d}) \quad (11)$$

式中 J_{obp} ——当散射体厚度等于 d 时，在相反方向辐射的散射值；

$J_{\text{обр. макс}}$ ——当 $d \rightarrow \infty$ 无穷大时的散射值；

$\mu_{\text{обр}}$ ——辐射的反散射系数。

在相反方向 β 辐射所散射的强度，与散射体原子序数間的关系，可用公式表示为

$$\frac{J_{\text{обр. макс1}}}{J_{\text{обр. макс2}}} = \left(\frac{Z_1}{Z_2} \right)^n \quad (12)$$

式中 $J_{\text{обр. макс1}}$ 和 $J_{\text{обр. макс2}}$ ——从原子序数为 Z_1 和 Z_2 的物质辐射的最大散射值；

n ——与几何实验有关的常数（一般 $n=0.7 \sim 0.8$ ）。

当非弹性相互作用时，在 β 粒子与原子的电子撞击情况下， β 粒子的能量会因物质原子的电离而损失（电离损失），若在 β 粒子受到库仑电场的强烈刹车情况下， β 粒子的能量会因刹车而损失（辐射损失）。第一种损失和第二种损失之比，可以近似地用关系式 $1000/ZE$ 来求得。因此随着 β 辐射通过的物质原子序数的增加，和辐射能量 E 的增加，电离损失将会降低，而辐射损失则增加。空气被电子电离后所产生的比电离值 $n_{y\beta}$ 与电子能量間的相互关系曲綫如图 4 所示。

β 粒子的能量损失决定着它在物质中的射程。具有能量

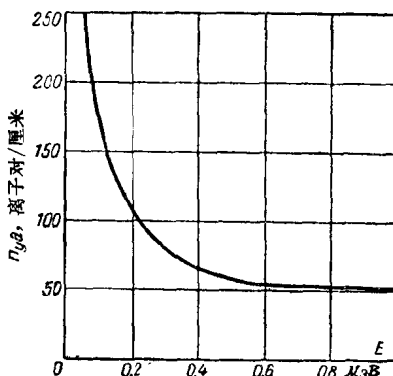


图 4 在空气中每一厘米电子路程上生成的离子对 $n_{y\beta}$ 数 1 与电子能量的关系